



11-08-AD-JM-1000.- Vista general de los tramos más bajos de la sucesión paleozoica. Al fondo el Precámbrico (PC) con su relieve típico. En un segundo plano la Caliza de Vegadeo (CA<sub>1-2</sub>) en un alforamiento normal en esta hoja. En primer plano la parte basal de la Serie de los Cabos (CA<sub>2</sub>-O<sub>1</sub>), como se deduce de la topografía es muy pizarrosa.



1-08-AD-JM-1001.- Detalle de la Caliza de Vegadeo (CA<sub>1-2</sub>). Aunque está marmorizado por efecto del metamorfismo, aún se observan las estructuras sedimentarias. Se trata de laminaciones de algas.



1-08-AD-JM-1002.- Otra facies de la Caliza de Vegadeo, con estructuras criptoalgaes, que son las más comunes.



11-08-AD-JM-1003.- Vista panorámica desde el Campadillao hacia el N. Se observa al fondo la Serie de los Cabos ( $CA_2-O_1$ ) con la cuarcita culminante (derecha) que empieza a destacarse desde esta hoja hacia el E, ya que se trata del extremo del dominio del Navia-Alto Sil. Sobre ellas están las Capas de Transición ( $O_{1-2}$ ) y las Pizarras de Luarca ( $O_2$ ). A la izquierda se observa el afloramiento de conglomerados estefanienses ( $H^{Bcg\ B}$ ).  
33-34



11-08-AD-JM-1004.- Serie de los Cabos ( $CA_2-O_1$ ) con su aspecto más normal, los pliegues como el que se observa son muy frecuentes.



11-08-AD-JM-1005.— Laminaciones finas de las Capas de Transición. Son depósitos marinos someros probablemente de playa. Los nivellillos oscuros están formados por acumulaciones de minerales pesados.



11-08-AD-JM-1006.- Varios sets de ripples en la Serie de los Cabos, que es la estructura sedimentaria más frecuente.



11-08-AD-JM-1007.- Pizarras de Luarca ( $O_2$ ) aspecto normalmente raro ya que se ve la estratificación por la refracción de la esquistosidad al pasar por capas con ligeras diferencias en el tamaño del grano.



11-08-AD-JM-1008.- Vista general de las Campas Grandes hacia el N. Al fondo los relieves de la serie de los Cabos, con el mayor pico de la hoja (Catoute). En el centro las Pizarras de Luarca con su relieve bastante suave. En primer término prácticamente sin afloramiento la Formación Agüeira ( $O_{2-3}$ ).



11-08-AD-JM-1009.- Detalle de la Formación Agüeira ( $O_{2-3}$ ) con los ritmos turbidíticos en este caso invertidos. En este afloramiento se observa el tramo pelítico y el tramo arenoso con laminación cruzada.



11-08-AD-JM-1010.- Otro aspecto de la Formación Agüeira invertida. Se observa en los tramos arenosos laminación paralela.



11-08-AD-JM-1011.- Aspecto generalizado de los tramos más lutíticos de la Formación Agüeira, con finas laminaciones alternantes.



11-08-AD-JM-1012.- Slump en la Formación Agüera. Hacia el techo de la formación.



11-08-AD-JM-1013.- Otro Slump próximo al anterior.



11-08-AD-JM-1014.- Otro ejemplo en la misma posición.



11-08-AD-JM-1015.- Tramos pizarrosos próximos al techo de la formación. La litología es similar a las Pizarras de Luarca pero siempre presentan finas laminaciones como en la foto. Se observa bastante bien la relación de la estratificación y la esquistosidad; en posición normal.



11-08-AD-JM-1016.- Ripples simétricos en la Cuarcita de Vega ( $O_3$ ).



11-08-AD-JM-1017.- Vista más general de la foto anterior. Obsérvese la esquistosidad en los niveles más pizarrosos de la formación anterior. Se ve muy bien que aunque la esquistosidad es de plano axial, la posición actual se encuentra con relativo paralelismo a la estratificación, debido a que la estructura es resultado de la superposición de la 3<sup>a</sup> fase hercínica.



11-08-AD-JM-1018.- Vista del conjunto de la Cuarcita de Vega ( $O_3$ ) en el Camino a Pardamaza. Obsérvese los dos tramos separados por una intercalación turbidítica. Al techo (en la parte superior) se ven las ampelitas negras del Silúrico.



11-08-AD-JM-1019.- Vista longitudinal del domo de interferencias de Pardamaza. En el núcleo aflora la Formación Agüeira y rodeándolo las ampelitas silúricas.



11-08-AD-JM-1020.- Vista de la misma estructura en la que se ve una sección más transversal.



11-08-AD-JM-1021.- Detalle de la estructura (cierre septentrional del domo) en la que se observan los pliegues en la Cuarcita de Vega de la 1<sup>a</sup> fase, y el sinclinal de 3<sup>a</sup> fase que afecta a la esquistosidad.



11-08-AD-JM-1022.- Detalle del pliegue de 3<sup>a</sup> fase anterior, tomada en dirección del eje en la que se observa la esquistosidad en las pizarras silúricas en posición subhorizontal debido al plegamiento.



11-08-AD-JM-1023.- De nuevo otra vista del cierre en Pardamaza, en la que se observa el contacto neto de la Cuarcita de Vega con las pizarras silúricas y al fondo la estructura anticlinal que aparece entre dos fallas, al N de Peña Tendoira.



11-08-AD-JM-1024.- Cierre del Sinclinal de Pardamaza (núcleo en Silúrico) en su extremo oriental.



11-08-AD-JM-1025.- Foto tomada en el núcleo del sinclinal del Pardamaza en el collado entre el Cueto Campa y el Gistreo hacia el este.



11-08-AD-JM-1026.- Discordancia muy horizontal de los conglomerados este-fanienses ( $Hcg_{33-34}^{B-B}$ ) sobre el paleozoico inferior. En primer término la Cuarcita de Vega subvertical. Foto tomada en la pista forestal que sube desde Villar de las Traviesas al Gistreo.



11-08-AD-JM-1027.- Brecha de la base del Estefaniense (Hb<sub>33-34</sub><sup>B-B</sup>) que aparece cuando no se desarrollan los conglomerados. Foto en la misma pista anterior.



11-08-AD-JM-1028.- Contacto entre las pizarras del Silúrico a la izquierda y el Estefaniense (obsérvese invertido). Foto tomada en la misma pista forestal de las anteriores. El contacto está mecanizado como se observa por la inversión de las capas debido a la proximidad de la Falla de Noceda, ésta es normal pero las posteriores reactivaciones dan lugar a aparentes cabalgamientos.



11-08-AD-JM-1029.- Labores a cielo abierto de las capas basales del Estefaniense al N de Tremor de Arriba. Al fondo las Pizarras de Luarca.



11-08-AD-JM-1030.- Contacto del Estefaniense con conglomerados en la base al N de Tremor de Arriba. A la derecha las Pizarras de Luarca.



11-08-AD-JM-1031.- Foto de la base del Neógeno de Noceda ( $T_c^B$ ) en su extremo occidental. Obsérvese los cantos poligénicos en globados entre arcillas rojas y con poco transporte.



11-08-AD-JM-1032.- Foto del contacto en la parte meridional. Como se observa en ambas fotos la energía del medio sedimentario de la base es muy baja.



11-08-AD-JM-1033.- Zona de braided al sur y suroeste de la depresión.



11-08-AD-JM-1034.- Tramo calcáreo del Neógeno  $T_1^B$  (C1). Obsérvese la discordancia de las arcillas más rojas aun del Pliocuaternario ( $T_2^B$  -Q).



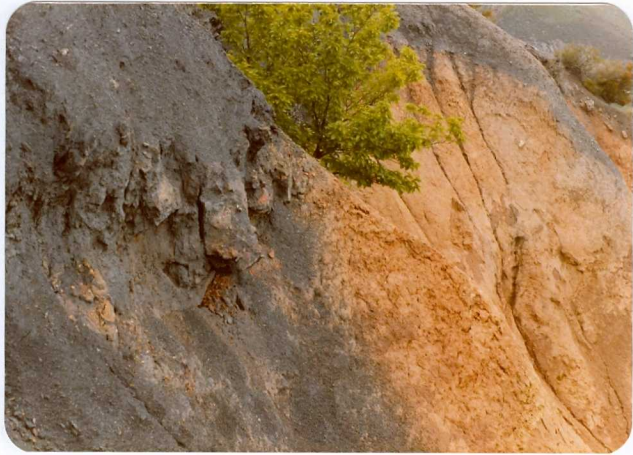
11-08-AD-JM-1035.- Conglomerado o brecha con aumento calcáreo (micrítico) correspondiente al tramo calcáreo en el afloramiento al NE de Quintana de Fuseros. Se debe a la actividad sin-sedimentaria de la falla de Noceda que pasa inmediatamente al N.



11-08-AD-JM-1036.- Otro aspecto del mismo afloramiento con olistolitos de la propia caliza.



11-08-AD-JM-1037.- Contacto del Neógeno (arcillas y limos) con los depósitos del glacis nº 2 típicos debris flow.



11-08-AD-JM-1038.- Falla de Noceda al N de Villar de las Traviesas que pone en contacto las ampelitas silúricas (negras) con las arcillas neógenas.



11-08-AD-JM-1039.- Foto de la misma falla pero en la que se observa que ha arrastrado un trozo de suelo ferralítico de la base del Neógeno.



11-08-AD-JM-1040.- Foto tomada en una cantera al N de Robledo, como muestra de la neotectónica de esta zona, a la izquierda la Cuarcita de Vega prácticamente caquiritizada al fondo una falla de pequeño salto  $\approx 1$  m afectando a depósitos cuaternarios.



11-08-AD-JM-1041.- Detalle de la foto anterior.

11-08-AD-JM-1042.- Otra falla reciente unos 50 m al S de la anterior con el mismo sentido de hundimiento aunque de menor magnitud (75 cm).





11-08-AD-JM-1043.- Otro ejemplo de neotectónica al N de Robledo, depósitos cuaternarios que erosionan a las arcillas del Neógeno y que están colgados en la actualidad.



11-08-AD-JM-1044.- Vista de la depresión de Noceda hacia el E obsérvese los niveles de glacis, siempre hacia el Sur.



11-08-AD-JM-1045.- Vista de la depresión desde Quintana de Fuseros hacia el W. Obsérvese la acumulación y pendiente hacia el S de los depósitos cuaternarios. Lo que da lugar a que la cartografía sea forzosamente esquemática.



11-08-AD-JM-1046.- Detalle de la foto anterior con un testigo de un primer glacis fosilizado por los posteriores.



11-08-AD-JM-1047.- Vista del glacis primero con un escarpe producido por el posterior. Al fondo otro testigo de este glacis.



11-08-AD-JM-1048.- Vista del borde N de la depresión. Se ve el tramo calcáreo cortado por una superficie de glacis que a su vez está cortada por los derrubios de ladera posteriores.